

II-100 流出渦に関する研究(続報)

山梨大学工学部 正員 萩原能男
山梨大学大学院 ○学生員 安田栄二

昨年度の年次学術講演会において、流出渦の形状などについて報告したが、その中で渦の不安定性などについて説明することができなかったので、今回それを定性的に説明できるような方法に主体を書いて報告することにした。

1. 理論

図-1,2 のように座標系をとり、 u を r 軸方向の流速、 w を θ 軸方向の流速として、一般的記号文字を用いて、連続の方程式を作ると、流量 Q は

$$\left. \begin{aligned} Q &= 2\pi r_0 r_0 u \\ Q &= \pi(r_0^2 - r^2)w \end{aligned} \right\} \quad (1)$$

となる。これを考慮して、流速を平均的に取り扱って表わすと、

$$u = \frac{1}{2\pi r_0} \cdot \frac{r_0^2 - r^2}{r_0^2 - r^2} Q \quad (2)$$

$$w = \frac{r_0 - r}{\pi r_0(r_0^2 - r^2)} \cdot Q \quad (3)$$

一方、水面における流線の方程式 $dr/d\theta = w/u$ より水深 r に関して

$$r = \frac{c(r^2 - r_0^2)(R - R_0)}{r_0^2 - r^2} \quad (4)$$

なる基本式が得られる。これを次のよう無次元量を用いて書きなおすと、

$$\xi = r/r_0, \quad \xi_1 = r_1/r_0, \quad \eta = r/r_0, \quad \eta_0 = r_0/r_0,$$

$$\eta_1 = R/r_0, \quad \mu = u/(Q/\pi r_0^2), \quad v = w/(Q/\pi r_0^2),$$

$$f = (Q/\pi r_0^2)/\sqrt{2g r_0}, \quad \delta = \nabla/(2Q/r_0),$$

(ここで H : 全水頭, $\nabla = 2\pi r v$ (循環), v : θ 方向の流速とする)

流速 u, w , 水深 r の無次元量はおのおの次の式のようになる。

$$\mu = \frac{\xi - \xi_1}{2\xi\eta(1 - \xi^2)}, \quad v = \frac{\eta - \eta_1}{\eta(1 - \xi^2)}, \quad \eta = \frac{\xi^2 - \xi_1^2}{(\xi^2 - \xi_1^2) + C(1 - \xi^2)} \cdot \eta_0 \quad (5)$$

また、Bernoulli's Theorem によって $\frac{u^2 + w^2}{2g} + h + \frac{v^2}{2g} = H = \text{Const.}$ であり、同様にして無次元表示をすると、

$$\eta_0 = \eta + f^2(\mu^2 + v^2) + \delta^2 f^2 / \xi^2 \quad (6)$$

となる。ここで $\xi = 1$ (すなわち, $r = r_0$) と $\xi = \xi_1$ における全水頭が等しい(これを η_0 とお)条件より $C = \xi_1^2$, $\eta_0 < (1 - \xi_1^2)/2\xi_1$ (7)

が得られる。また任意の ξ に対しては $\eta_0 = \text{Const.}$ の条件は完全には満足されないが、もっともこの条件を満足させるためには

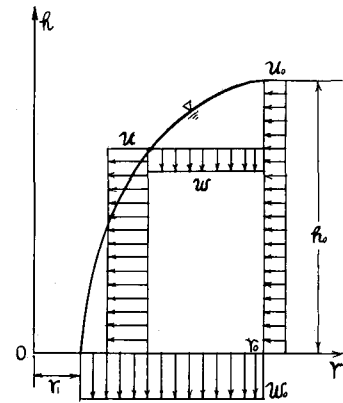


図-1

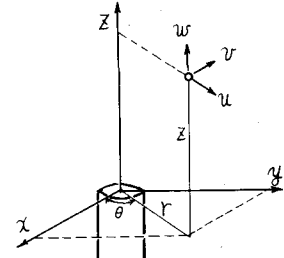


図-2

$$\left. \begin{aligned} r^2 &= \frac{4\eta^3 - f^2(4\eta^2 - 1)}{4\eta^2 f^2}, \quad f^2 < \frac{4\eta^3}{4\eta^2 - 1} \\ \eta_0 &> \frac{1}{2} \end{aligned} \right\} \quad (8)$$

でなければならない。

2. 実験値との比較

前述の理論と実験値とを比較するために表-1に示される実験資料をもとに、 $1 > \eta > \eta_0$ の範囲の η に対して、水深 η 、流速 u 、 ν 、全水頭 η_0 を計算した。

その結果の一部は図-3, 4に示されている。 η_0 は(7)式の条件を満足する範囲内で20種類について計算し、どの η_0 に対して $\eta = \text{Const.}$ の条件がもっとも満足されるか調べるために、

$HSV = \frac{1}{\eta} \sum (\eta_0 - \eta)^2$ の値を計算した。このHSVと η_0 の関係は図-5に示されるところである。

| DATA no. | 流出口径 D (cm) | 流量 Q (l/sec) | かどり水深 η_0 (cm) | 表-1 | |
|----------|----------------|-----------------|------------------------|-------|----------|
| | | | | f | η_0 |
| 3-6 | 9.05 | 4.046 | 7.27 | 0.668 | 1.607 |
| 7-4 | 8.02 | 8.450 | 14.62 | 1.887 | 3.683 |
| 7-6 | 8.02 | 6.744 | 13.69 | 1.506 | 3.414 |

3. 考察・結論

渦の水面形状は図-3, 4に示されるように、昨年の報告より良く一致するように改善された。多少のずれがあるのは、写真の読み取り誤差や理論式の不完全さからであろうと考えられる。

渦は極めて不安定であることが観察により良く知られている。それは今回紹介した理論によると、一流線に沿う全水頭 η_0 が一定にならない点に原因があると思われる。図-5に示したHSVは $\eta_0 = 1$ より $\eta_0 = \eta$ までの一水面上の流線に沿ってのばらつきを数量化したものであるので、HSVが大きいほど η_0 は一定でない。観測した渦(図-3と図-5参照)はA点にあり、HSVの大きいところにある場合もあり、中にある場合もあって、必ずしも $\eta_0 = \text{Const.}$ の条件を満足するような傾向はないが、HSVが小さいほど渦は安定するものと考えられる。

今後、より多くの渦の観察と、理論式の修正をして、この点を明確にしたい。

